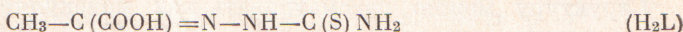


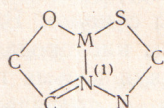
Г. Ф. ВОЛОДИНА, Г. А. КИОССЕ, И. В. ГЭРБЭЛЗҮ,
академик АН МССР А. В. АБЛОВ

**СТРУКТУРА БАРИЕВОЙ СОЛИ ХЕЛАТА ХРОМА (III)
С ТИОСЕМИКАРБАЗОНОМ ПИРОВИНОГРАДНОЙ КИСЛОТЫ**

Ранее были описаны координационные соединения $3d$ элементов с тиосемикарбазонами салицилового альдегида (¹), диацетилмоноксида (³), антрапилювого альдегида (^{4a, b}), 8-хинолинальдегида (⁵), 2-пиридинальдегида (⁶) и пировиноградной кислоты (^{7a-g}). В этих координационных соединениях названные тиосемикарбазоны ведут себя как тридентатные лиганды, присоединяясь к центральному атому через азот гидразинового остатка, серу и атом третьей хелатофорной группы тиосемикарбазона. В частности, тиосемикарбазон пировиноградной кислоты



образует с центральным атомом два металлоцикла, как это схематически передается формулой:



Исходя из того, что в координационных соединениях металлов с тиосемикарбазидом (⁸) металлокомплексный цикл является плоским и что три ковалентности азота (1) являются гибридными sp^2 -орбиталами и находятся в одной плоскости, было сделано предположение, что перечисленные тридентатные тиосемикарбазоны должны вести себя в комплексах как плоские или приблизительно плоские лиганды (^{4a, b, 7a, g}).

Для подтверждения этого предположения и выяснения тонкости строения координационных соединений переходных металлов с тиосемикарбазонами мы предприняли рентгеноструктурное исследование бариевой соли комплекса хрома с тиосемикарбазоном пировиноградной кислоты $\text{Ba}[\text{Cr}(\text{L})_2] \cdot 5\text{H}_2\text{O}$, которую получали по следующей методике.

В высокую пробирку насыпали 2–3 г крупнокристаллического $\text{BaCl}_2 \cdot 2\text{H}_2\text{O}$ и осторожно приливали к нему 30–35 мл насыщенного на холода раствора $\text{NH}_4[\text{Cr}(\text{L})_2]$, синтезированного согласно (^{7b}). Постепенно, в течение нескольких суток, по мере растворения $\text{BaCl}_2 \cdot 2\text{H}_2\text{O}$ диффузиирования его по высоте пробирки, выросли крупные, хорошо ограниченные кристаллы в форме плоских удлиненных (до 5–8 мм) пластин темно-красно-коричневого цвета. Выход вещества ~ 2 г.

Найдено %: Cr 10,69; Ba 14,26; N 17,30; C 20,19; H 3,20
 $\text{Cr}_2\text{BaC}_{16}\text{H}_{24}\text{N}_{12}\text{O}_8\text{S}_4 \cdot 5\text{H}_2\text{O}$ Вычислено %: Cr 10,74; Ba 14,47; N 17,35; C 19,84; H 3,4

Для рентгеноструктурного исследования кристаллы тщательно промывали насыщенным при комнатной температуре водным раствором этого же комплекса и затем осторожно сушили между листами фильтровальной бумаги.

Кристаллы удлинены вдоль оси b . Параметры элементарной ячейки определены из рентгенограмм вращения и вейсенбергограмм (камера

РГНС-2, Cu-излучение): $a = 27,99 \pm 0,03$; $b = 8,35 \pm 0,02$; $c = 17,17 \pm 0,04$ Å; $\beta = 120^\circ 12'$. При плотности $\rho_{\text{плак}} = 1,84$ г/см³ ячейка содержит 4 формульных единицы $\text{Ba}[\text{Cr}(\text{L})_2]_2 \cdot 5\text{H}_2\text{O}$ ($\rho_{\text{рентг}} = 1,85$ г/см³). Погасания рефлексов ($h0l : l = 2n + 1$, $hkl : h + k = 2n + 1$) приводят к двум возможным пространственным группам: Cc или $C2/c$.

Внешняя форма кристаллов позволяет предположить наличие в них центра симметрии, и предварительная расшифровка структуры проведена в рамках центросимметричной группы $C2/c$.

Из проекций межатомных векторов $P(w, u)$ и $P(u, v)$ найдены координаты тяжелого атома бария, который занимает частные четырехкратные положения на двойных осях, и атомов хрома и серы. Эти данные использовались для построения проекций электронной плотности $\sigma(z, x)$ и $\sigma(x, y)$. Анализ $\sigma(z, x)$, $\sigma(x, y)$ и взвешенного синтеза $C_1(w, u)$ позволил наметить положения всех остальных атомов и выяснить мотив структуры. Рабочей явилась развертка первой слоевой линии вращения вокруг оси b . Из взвешенных проекций электронной плотности $S_1(z, x)$ и $C_1(z, x)$ определены и уточнены z -, x - и y -координаты практически всех атомов (перекрывающиеся атомы разделены при помощи соответствующих фазовых проекций⁽¹⁰⁾). x - и z -координаты атомов уточнены методом наименьших квадратов по данным $178 F_{h0l}^2$ и $227 F_{h1l}^2$; полученные координаты приводятся в табл. 1, фактор недостоверности структуры, вычисленный по ним, $R_{hkl} = 17,5\%$, $B_{hkl} = 2,2$ Å².

Структуру можно рассматривать как молекулярную, состоящую из нейтральных островных единиц $\text{Ba}[\text{Cr}(\text{L})_2]_2 \cdot 5\text{H}_2\text{O}$ с симметрией 2 (рис. 1). В каждой из таких «молекул» ион Ba^{2+} окружен двумя октаэдрическими хелатными анионами $(\text{CrL}_2)^-$. Интересно, однако, что два лиганда L не равнозначны в хелате, только у одного лиганда оба атома кислорода COO^- -группы связаны с ионом Ba^{2+} . Таким образом, громоздкий катион Ba^{2+} окружают атомы кислорода двух молекул тиосемикарбазона и пяти молекул воды, образуя весьма неправильный девятивершинник. Расстояния $\text{Ba} - \text{O}$ лежат в пределах 2,71—3,09 Å, аналогично структуре бариевого комплекса с антибиотиком X-537 A $\text{Ba}(\text{C}_{34}\text{H}_{53}\text{O}_8)_2 \cdot \text{H}_2\text{O}$ ⁽¹¹⁾. Кислороды второй молекулы тиосемикарбазона хелатного аниона $(\text{CrL}_2)^-$, которые не входят в ближайшее окружение атома Ba , образуют, по-видимому, водородные связи с молекулами воды девятивершинника: $\text{O}_3 - \text{H}_2\text{O}_{\text{III}} - 2,70$ Å, $\text{O}_4 - \text{H}_2\text{O}_{\text{II}} - 2,78$ Å. Атом хрома в $(\text{CrL}_2)^-$ координирует две молекулы тиосемикарбазона и октаэдрически окружен атомами азота в транс-, кислорода и серы в цис-положениях (средние

Таблица 1

Координаты базисных атомов структуры бариевой соли хелата хрома (III) с тиосемикарбазоном пиронинградной кислоты

Атом	x/a	y/b	z/c	Атом	x/a	y/b	z/c
Ba	0	0,764	0,25	N ₃	0,176	0,47	0,140
Cr	0,131	0,127	0,267	N ₄	0,163	0,03	0,392
S ₁	0,498	0,290	0,268	N ₅	0,198	-0,10	0,417
S ₂	0,172	-0,42	0,247	N ₆	0,231	-0,34	0,378
O ₁	0,061	0,02	0,228	C ₁	0,021	0,12	0,158
O ₂	-0,028	0,03	0,111	C ₂	0,034	0,19	0,103
O ₃	0,109	0,32	0,328	C ₃	-0,003	0,24	0,025
O ₄	0,112	0,34	0,449	C ₄	0,154	0,36	0,462
H ₂ O _I	0	0,44	0,25	C ₅	0,131	0,24	0,413
H ₂ O _{II}	0,080	0,66	0,407	C ₆	0,161	0,10	0,462
H ₂ O _{III}	0,080	0,59	0,222	C ₇	0,167	0,05	0,540
N ₁	0,088	0,24	0,144	C ₈	0,202	-0,20	0,362
N ₂	0,103	0,34	0,095				

расстояния: Cr — S — 2,40, Cr — O — 2,02, Cr — N — 2,09 Å). Cr-октаэдр очень искажен: атомы O_{1,3} и S_{1,2} не образуют плоский четырехугольник, а скорее тетраэдр — между плоскостями CrO_{1,3} и CrS_{1,2} угол $\sim 24^\circ$, а угол < N₁CrN₄ существенно отличен от 180°. Оба пятичленных хелатных кольца каждой молекулы почти плоские, но несколько наклонены друг к другу ($\sim 6^\circ$) плоскости же колец разных молекул расположены под углом 85°. Описанные «острова» удерживаются в кристалле системой

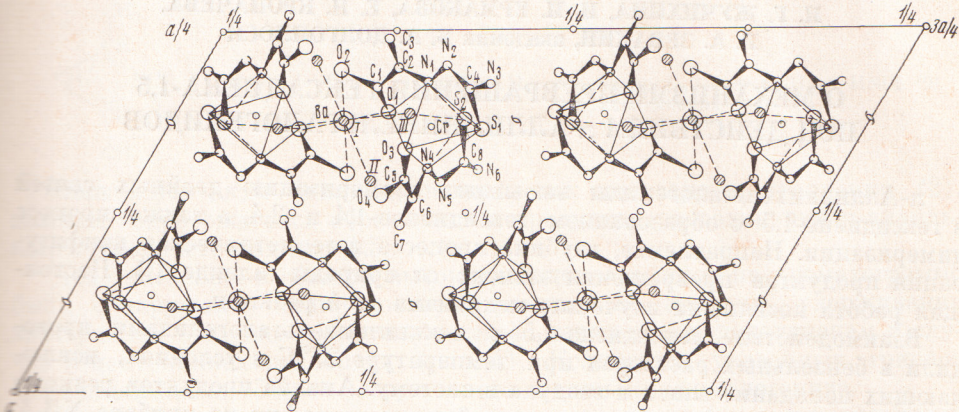


Рис. 1. Проекция структуры Ba[Cr(L)₂]₂·5H₂O на плоскость (z, x)

межмолекулярных и водородных связей, о которых мы скажем подробнее после уточнения структурных параметров.

В работе М. Мэтью и Г. Ж. Паленик (¹²) дается рентгеноструктурная расшифровка комплекса никеля с другим тридентатным тиосемикарбазоном, именно с тиосемикарбазоном изохинолин-1-карбоксальдегида (HQ). Авторы (¹²) нашли, что этот лиганд практически плоский. Выполненная нами расшифровка структуры Ba[Cr(L)₂]₂·5H₂O показывает, что и в случае тиосемикарбазона ширина виноградной кислоты лиганд присоединяется своими хелатофорными группами к центральному атому с образованием двух металлоциклов, расположенных примерно в одной плоскости, но так как H₂L является менее жесткой молекулой, чем тиосемикарбазон изохинолин-1-карбоксальдегида, искажение в ней, вероятно, больше. Обсуждение межатомных расстояний и углов в молекулах мы откладываем до уточнения структуры.

Институт химии
Академии наук МССР
Кишинев

Поступило
23 IV 1971

ЦИТИРОВАННАЯ ЛИТЕРАТУРА

- ¹ А. В. Аблов, Н. В. Гэрбэлэу, ЖНХ, **9**, 2325 (1964); **10**, 61, 1135 (1965).
- ² Н. В. Гэрбэлэу, ЖНХ, **13**, 2467 (1968). ³ А. В. Аблов, Н. И. Беличук, ЖНХ, **8**, 77, 612 (1963). ⁴ А. В. Аблов, Н. В. Гэрбэлэу, М. В. Шопрон, ЖНХ, **15**, 1875 (1970); б) ЖНХ, **16**, 723 (1971). ⁵ А. В. Аблов, Н. В. Гэрбэлэу, Б. Т. Овой, ЖНХ, **15**, 2705, 3114 (1970); ЖНХ, **16**, 189 (1971). ⁶ А. В. Аблов, Н. И. Беличук, ЖНХ, **14**, 179 (1969). ^{7а} А. В. Аблов, Н. В. Гэрбэлэу и др., ЖНХ, **15**, 123 (1970); б) А. В. Аблов, Н. И. Беличук, Л. Ф. Чапурина, ЖНХ, **15**, 119 (1970); в) А. В. Аблов, Н. В. Гэрбэлэу, ЖНХ, **15**, 1854 (1970); г) Н. В. Гэрбэлэу, А. В. Аблов, М. Д. Ревенко, ЖНХ, **15**, 2386 (1970). ⁸ L. Cavalca, M. Nardelli, G. Branchi, Acta crystallogr., **13**, 688 (1960); R. Gronbaeck, S. E. Rasmussen, Acta chem. scand., **16**, 2325 (1962); L. Cavalca, M. Nardelli, G. Fava, Acta crystallogr., **15**, 1139 (1962). ⁹ А. В. Аблов, Н. В. Гэрбэлэу, Н. Я. Негряцэ, ЖНХ, **14**, 986 (1969). ¹⁰ И. М. Руманова, Кристаллография, **3**, 6, 664 (1958). ¹¹ S. M. Johnson, J. Herrin et al., Chem. Commun., **2**, 72 (1970). ¹² M. Mathew, G. J. Palenik, J. Am. Chem. Soc., **91**, 6310 (1969).